

第一章

全球农业气象环境

第一章基于全球 65 个制图报告单元 (MRU) 分析了 CropWatch 的三个农业气象指标——降雨 (RAIN)、温度 (TEMP) 和光合有效辐射 (RADPAR) 以及一个农情指标潜在累积生物量 (BIOMSS)。附录 A 的表 A.1 提供了各指标在各 MRU 单元上的具体信息。

1.1 概述

在本次报告监测期间 (7-10 月)，全球范围内大量地区受到异常高温和降雨的综合影响，从而也反映在了光合有效辐射和潜在生物量上。

温度变化最大的地区发生在北美西海岸 (MRU16, +2.6°C)，伴随着降雨较过去 13 年平均上升了 12%，光合有效辐射有所下降。

南美洲大部分地区遭遇了高温侵袭 (高出过去 13 年平均 2.0-2.4°C)，其中包括巴西中部和东部 (MRU-23; RAIN+10%, TEMP+2.0°C, RADPAR-1%), 阿根廷中北部 (MRU-25; +18%, -0.5, +3%) 和巴西东南部、康塞普西翁及巴伊亚布兰卡 (MRU-26; +24%, +2.2°C, +1%)，在这些地区，高温且多雨，降雨较往年有 15-25% 的增高。在巴西东北部 (MRU-22; -23%, +2.4°C, -1%) 周边的地区遭受了较为严重的干旱，高温且少雨 (降雨下降了 23%)。然而在安第斯山脉中部和北部 (MRU-21; +1.6°C) 高温，降雨接近于往年均值。

在欧亚大陆，一些地区遭遇了低温且少雨的天气，特别是中亚东部 (MRU-52; RAIN-4%, TEMP-0.7°C, RADPAR+3%)，西伯利亚东部 (MRU-51; -17%, -0.5°C, +3%)，乌克兰至乌拉尔山脉 (MRU-58; -28%, -0.4°C, -5%) 和欧洲沿地中海地区及土耳其 (MRU-59; -5%, -0.5°C, -4%)。

全球范围内，本次监测期间，降雨下降最多的地方在新西兰 (MRU-56; -65%)，南非西开普地区 (MRU-10, -58%)，澳大利亚昆士兰至维多利亚 (MRU-54, -43%)，澳大利亚北部 (MRU-53, -56%) 和中国台湾 (MRU-42, -36%)。降雨升高的地区集中在北美大平原 (MRU-12, +61%)，中国甘肃、新疆地区 (MRU-32, +198%) 和蒙古地区 (MRU-47; +255%)。

1.2 降雨

2014 年 7 月至 10 月期间，全球不同区域的降水量呈现较大的波动趋势（图 1.1）。与过去 13 年同期平均降水量相比，美国最为重要的玉米带—大平原北部地区（MRU-12）降水量增长 60.56%，中国长江中下游平原（MRU-37）与西南地区（MRU-41）是重要的水稻产区，降水量分别增长 28.16% 与 21.39%；气候干燥少雨的中国新疆与甘肃地区（MRU-32）、蒙古地区（MRU-47）的降水量分别增长 198.43% 与 184%，为区域畜牧业草场的生长创造了良好条件；全球部分大豆与小麦主产区降水增长明显，如巴西东南部与阿根廷东北地区（MRU-26）的降水量增长了 23.64%；干旱的加拿大英属哥伦比亚至美国科罗拉多（MRU-11）地区降水量增长了 44.51%；部分极端气候区的降水量也有明显增长，如 CropWatch 监测的尼罗河河谷与三角洲所处的撒哈拉沙漠与阿拉伯半岛（MRU-64）地区降水增加 60.14%，高寒的中亚帕米尔地区（MRU-30）降水增加了 55.44%，即非农业区也非畜牧业区的极寒的北美北极地区（MRU-65）降水量增长 194.58%，有利于区域森林生长与水源涵养。

与此同时，在此监测期内，部分全球粮食主产区降水量低于过去 13 年同期平均降水量。全球重要的小麦主产区—乌克兰至乌拉尔山地区（MRU-58）降水量减少 28.21%，中国台湾地区（MRU-42）降水量减少了 36.05%，包括印度尼西亚与菲律宾在内的东南亚群岛地区（MRU-53）降水量减少了 14.85%。澳大利亚东部地区、东北亚地区与南非地区遭遇严重干旱，澳大利亚北部地区（MRU-53），昆士兰至维多利亚地区（MRU-9），新西兰（MRU-56），南非（MRU-9）的降水量分别减少了 56.06%，43.22%，64.87%，24.59%，东亚地区（MRU-43）的降水量减少了 26.01%，朝鲜半岛尤为明显。中国的黄淮海地区（MRU-34）与东北地区。

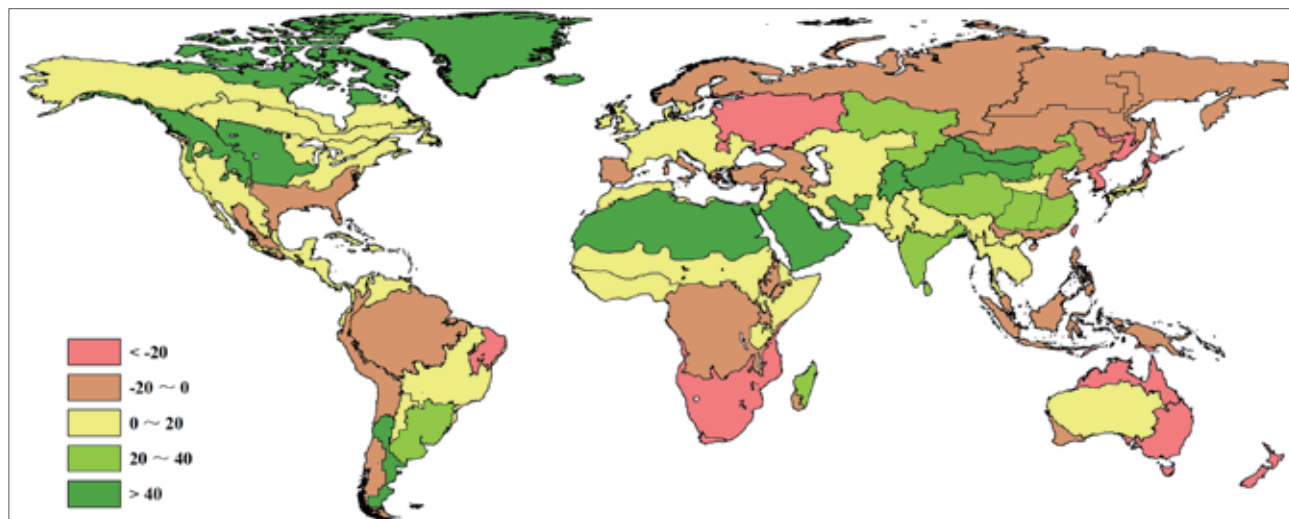


图 1.1 全球制图报告单元（MRU）2014 年 7-10 月与过去 13 年同期降雨（RAIN）距平图（%）

1.3 温度

在本次监测期间，相比过去 13 年，全球大部分地区的气温都高于往年。除了新西兰地区，整个南半球的气温均高于往常。如果有足够的雨水，这种气温条件对于作物生长非常有利，特别是对于澳洲（包括澳大利亚北部 $+0.5^{\circ}\text{C}$ ），澳大利亚昆士兰至维多利亚 $+0.8^{\circ}\text{C}$ 和澳大利亚纳拉伯至达令河



($+1.9^{\circ}\text{C}$)), 非洲(包括南非($+0.9^{\circ}\text{C}$)和南非西开普地区($+1.4^{\circ}\text{C}$)), 南美洲(包括巴西中部和东部($+2.0^{\circ}\text{C}$), 巴西东南部、康塞普西翁及巴伊亚布兰卡($+2.2^{\circ}\text{C}$))的小麦种植区。在北美, 温度条件普遍高于往年, 其趋势自西向东逐渐下降。在美国玉米主产区温度已接近于往年平均(-0.1°C)。

在欧亚板块的北部, 温暖的气候条件非常适合作物的生长($>+0.5^{\circ}\text{C}$), 在乌克兰至乌拉尔山脉和欧洲沿地中海地区及土耳其地区, 温度低于平均约0.5度, 这对这一地区小麦和玉米的生长有所影响。在乌拉尔山脉至阿尔泰山脉温度下降最为显著, 达到了 -1.2°C 。

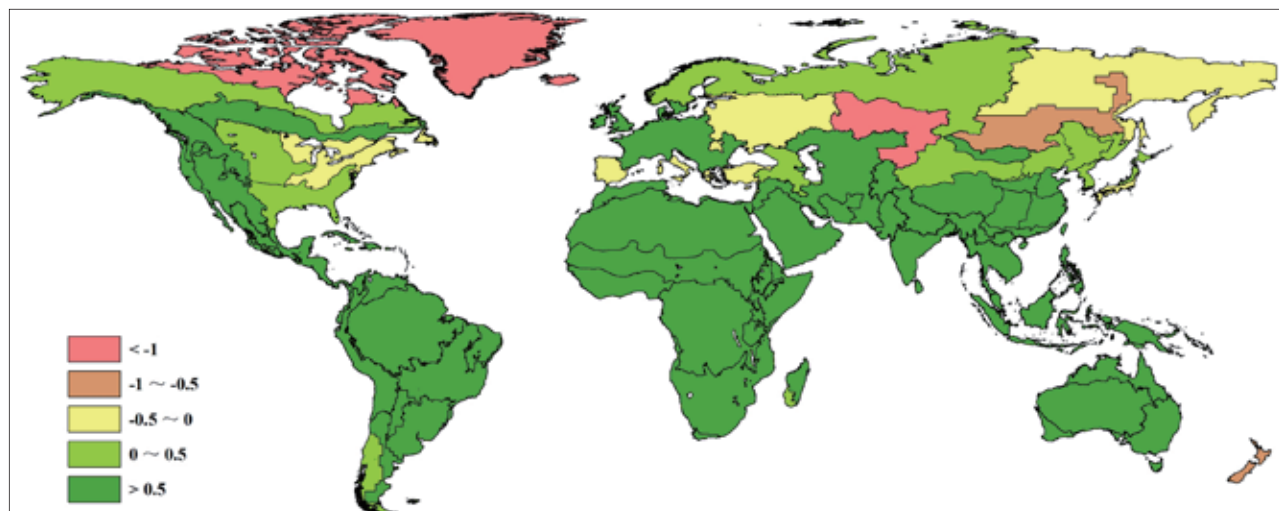


图 1.2 全球制图报告单元 (MRU) 2014 年 7-10 月与过去 13 年同期气温 (TEMP) 距平图 ($^{\circ}\text{C}$)

1.4 光合有效辐射

在全球65个农业生态区中, 超过半数地区的光合有效辐射都高于过去13年平均水平。PAR增幅最大的地区包括北美北部地区(MRU-61), 中非赤道地区(MRU-01)和乌克兰至乌拉尔山脉(MRU-58), 增幅都达到了5%。PAR显著降低的地区主要集中在南美和北美, 其中北美洲的不列颠哥伦比亚至科罗拉多(MRU-11)和美国西海岸(MRU-16)的光合有效辐射降低了4%, 南美洲的南锥半干旱地区(MRU-28)和南椎体西南部(MRU-27)PAR分别降低了4%和5%。最大的PAR降幅出现在日本南部及韩国(MRU-46), 较平均水平减少了6%。

中国的水稻主产区长江下游地区(MRU-37)PAR相比于近13年平均水平减少了5%, 甘肃、新疆地区(MRU-32)受长期阴雨寡照影响, PAR减少了2%。在全国范围内, PAR值增加显著的地区包括东北地区(MRU-38)、台湾地区(MRU-42)及海南省(MRU-33), 增幅分别为3%、4%和5%, 其它地区光合有效辐射基本处于多年平均水平。

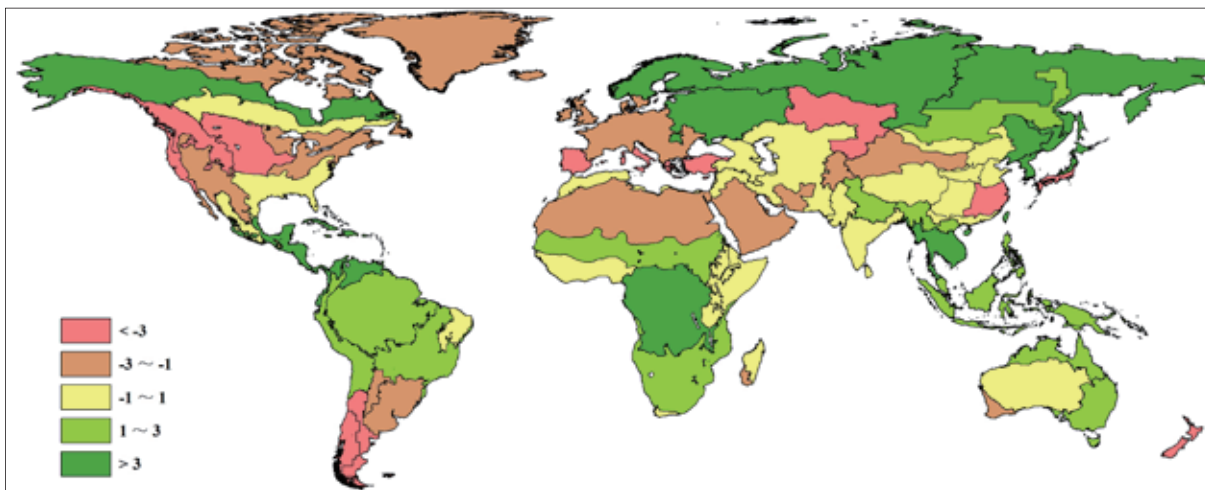


图 1.3 全球制图报告单元 (MRU) 2014 年 7-10 月与过去 13 年同期有效光合辐射 (RADPAR) 距平图 (%)

1.5 潜在生物量

潜在生物量可以综合反应气候因素对农业生产的潜在影响。CropWatch 使用的潜在生物量指数基于降雨和温度计算。7-10 月作物潜在生物量的变化分布如图 1.4。

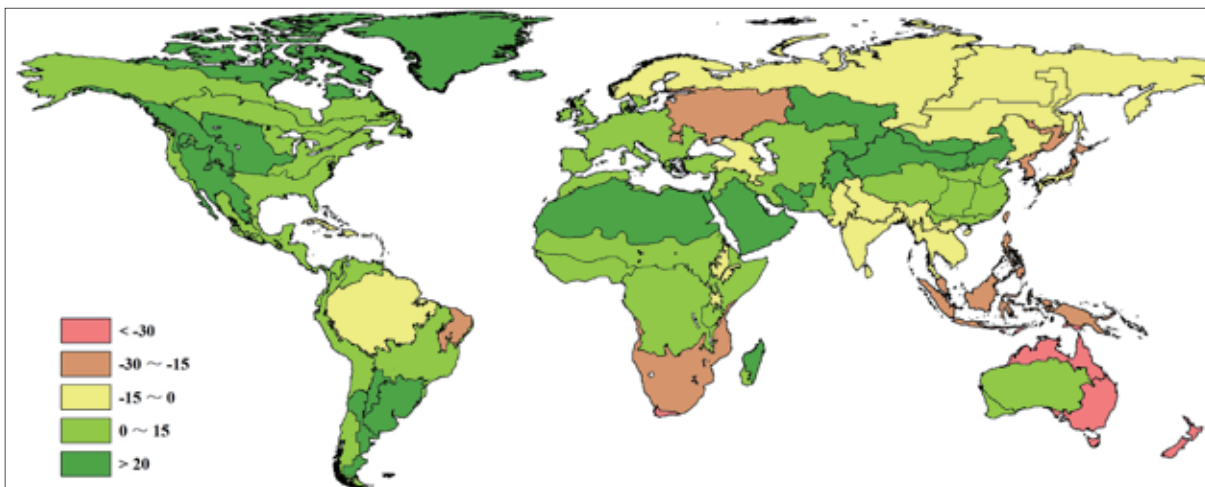


图 1.4 全球制图报告单元 (MRU) 2014 年 7-10 月与过去 13 年同期潜在累积生物量 (BIOMSS) 距平图 (%)

本次监测期间，在世界上大部分地区，受高温影响，7-10 月的潜在生物量累计值高于过去五年同期平均。其中高出最多的区域发生在以下地区：蒙古地区 (+142%)，中国甘肃、新疆地区 (+120%)，南锥半干旱地区 (+76%)，不列颠哥伦比亚至科罗拉多 (+34%)，马达加斯加主岛 (+33%)，墨西哥西南部及北部高原 (+32%)，阿根廷中北部 (+32%)，美国北部大平原 (+27%)，和中国内蒙古地区 (+25%)。

在全球范围内，潜在生物量下降的地区主要分布在南半球，包括澳大利亚北部 (-51%)，南非西开普地区 (-42%)，澳大利亚昆士兰至维多利亚 (-40%)，巴西东北部 (-28%)，中国台湾 (-20%)，南非 (-17%) 和东亚 (-16%)。在东半球，受到雨水较少的影响，新西兰 (-59%) 和乌克兰 (-23%) 地区的潜在生物量有所下降。

